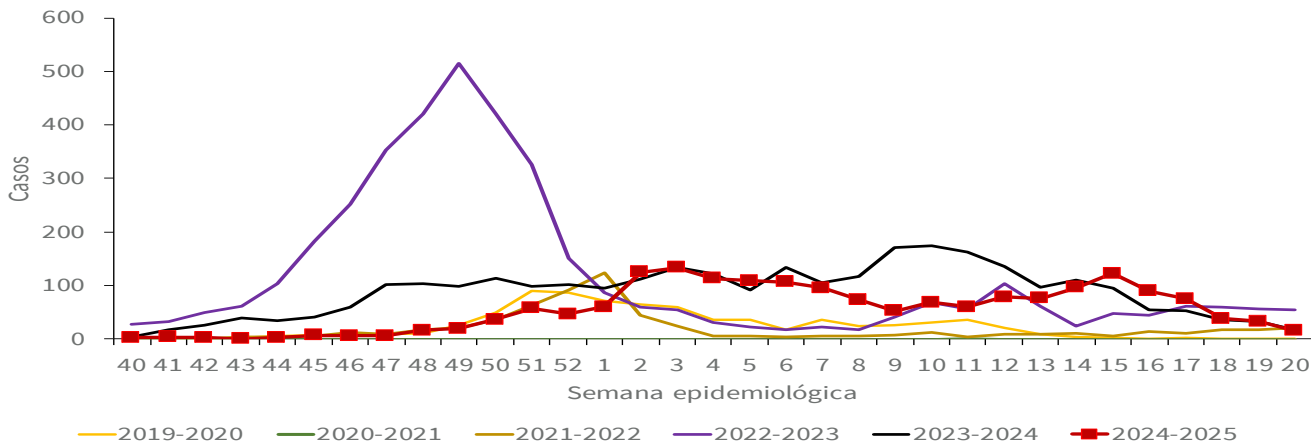




## TEMPORADA DE INFLUENZA ESTACIONAL 2024-2025

Gráfica 1. Curva epidémica de casos positivos a influenza por semana epidemiológica y por temporadas estacionales 2019-2020 a 2024-2025



Al comparar el comportamiento de la curva epidémica semanal de influenza en la Ciudad de México de las últimas 5 temporadas, se observa que la temporada de influenza 2024-2025 el comportamiento es menor a lo observado en la temporada anterior pero mayor a temporadas anteriores (Gráfica 1).

Tabla 1. Casos y defunciones por influenza por temporada estacional.

Evento	2019-2020	2020-2021	2021-2022	2022-2023	2023-2024	2024-2025
Casos positivos influenza	776	2	638	3,919	2,876	1,818
Defunciones por influenza	32	0	4	28	25	21

Nota: Al corte de la semana 20 para cada temporada

Durante la temporada estacional 2024-2025, en la Ciudad de México, se han identificado 1,818 casos confirmados y 21 defunciones por influenza.

Tabla 2. Casos sospechosos (ETI/IRAG), positivos y defunciones por influenza.

	Acumulado Semanas 40-20	Semana 20
Casos ETI/IRAG	20,647	322
ETI	14590 (70.7%)	251 (78%)
IRAG	6057 (29.3%)	71 (22%)
Casos positivos influenza	1818 (8.8%)	15 (4.7%)
Defunciones por influenza	21	0

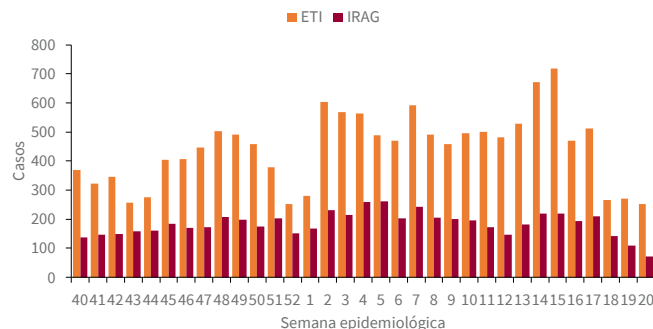
ETI: Enfermedad tipo influenza

IRAG: Infección respiratoria aguda grave

Desde la la semana 40 de 2024, y hasta el corte de la semana 20 de 2025, se han notificado 20,647 casos de ERV\* (71% ETI y 29% IRAG), 1,818 casos positivos a influenza y 21 defunciones. En la última semana han ocurrido 322 casos de ERV, 15 casos de influenza confirmados y ninguna defunción (Tabla 2).

\*Enfermedad respiratoria viral

Gráfica 2. Casos ETI/IRAG por semana epidemiológica



De acuerdo con la distribución de los casos de ETI/IRAG se observa una mayor proporción de casos de enfermedad tipo influenza respecto a infección respiratoria aguda, después del incremento súbito de la semana 1 a la 2 se observa un descenso progresivo en las últimas 3 semanas, con un incremento de la semana 6 a la 7, seguido de un ligero descenso y un aumento de la semana 9 a la 14 y un descenso en las últimas semanas (Gráfica 2).

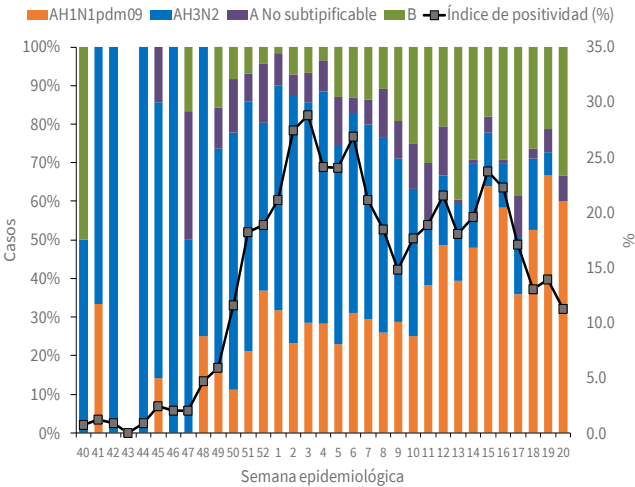
Tabla 3. Casos y defunciones por influenza según subtipo viral.

Subtipo viral	Temporada estacional		
	2023-2024	2024-2025	Cambio %
AH1N1pdm09			
Casos	935	642	-31.3
Defunciones	12	9	-25.0
AH3N2			
Casos	1,251	735	-41.2
Defunciones	9	11	22.2
A No subtipificable			
Casos	260	137	-47.3
Defunciones	2	1	-50.0
B			
Casos	430	304	-29.3
Defunciones	2	0	-100.0
Total general			
Casos	2876	1,818	-36.8
Defunciones	25	21	-16.0

Nota: Al corte de la semana 20 para cada temporada

Durante la temporada estacional 2024-2025, se han confirmado 1,818 casos positivos a influenza: 735(40%) de AH3N2, 642(35%) de AH1N1pdm09, 304(17%) de influenza B y 137(8%) de A No subtipificado. Han ocurrido 21 defunciones por influenza: 11(52%) de AH3N2 y 9(43%) de AH1N1 y 1(5%) de influenza A no subtipificable (Tabla 3).

Gráfica 3. Distribución de casos positivos a influenza por subtipo viral y semana epidemiológica



De acuerdo con la vigilancia por laboratorio, al inicio de la temporada estacional, los casos positivos se distribuyen de la siguiente manera:

- 83% influenza A: AH3N2 (49%), AH1N1 (42%) A No subtipificable (9%).
- 16% de influenza B: Victoria (76%) y No Determinado (24%).

La positividad de influenza durante el periodo es del 16%, con un máximo de 29% en la semana 3 (Gráfica 3).

Con base en el comportamiento por semana epidemiológica, la **semana 3** ha sido las de mayor ocurrencia con 133 casos de influenza respectivamente, las semanas 3,4 y 7 han sido la de mayor ocurrencia de defunciones por influenza (n=3), respectivamente (Gráfica 4).

Gráfica 4. Distribución de casos y defunciones por influenza por semana epidemiológica

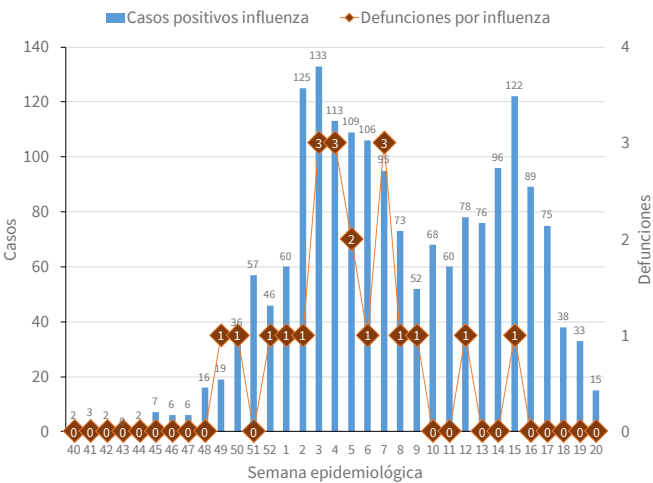


Tabla 4. Casos de IRA, Neumonía/Bronconeumonía

Diagnóstico	2023-2024	2024-2025	% de cambio
Casos de IRA	995,222	925,427	-7.0
Casos de Neumonía/Bronconeumonía	15,661	16,590	5.9

IRA: Infecciones respiratorias agudas

Nota: Al corte de la semana 18 para cada temporada

Al comparar el comportamiento actual de los casos de IRA y Neumonías/Bronconeumonía al corte de la semana 17 respecto de la temporada estacional 2023-2024, se observa decremento del 7% y un incremento del 6%, respectivamente, de acuerdo con el Sistema de Notificación Semanal de Casos Nuevos (Tabla 4).

**INFORME SEMANAL DE VIGILANCIA  
EPIDEMIOLÓGICA**

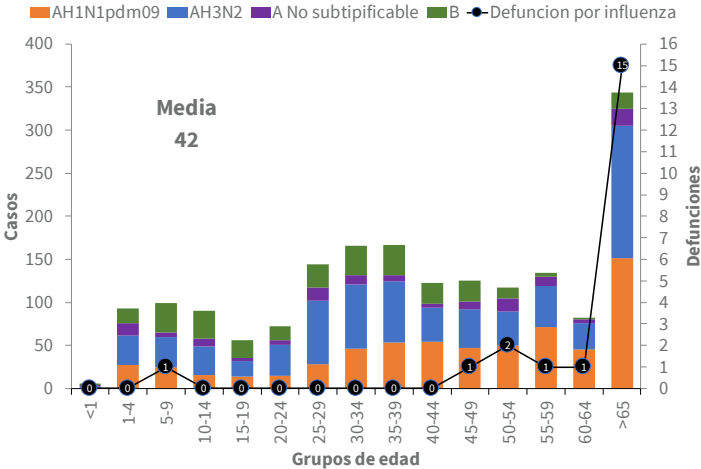
**INFLUENZA**

**Tabla 5. Casos ETI/IRAG, positivos y defunciones por influenza distribuidos por Jurisdicción de Residencia.**

Jurisdicción de residencia	Casos ETI/IRAG		Casos positivos a influenza		Índice de positividad (%)	Muestras procesadas	Defunciones por influenza	
	n	%	n	%			n	%
AZCAPOTZALCO	1,803	8.7	72	4.0	12.3	583	2	9.5
COYOACAN	2,054	9.9	176	9.7	12.3	1435	1	4.8
CUAJIMALPA DE MORELOS	206	1.0	14	0.8	12.2	115	0	0.0
GUSTAVO A. MADERO	3,181	15.4	173	9.5	14.3	1212	6	28.6
IZTACALCO	1,365	6.6	91	5.0	11.9	762	0	0.0
IZTAPALAPA	2,205	10.7	278	15.3	17.4	1595	1	4.8
LA MAGDALENA CONTRERAS	587	2.8	96	5.3	25.7	373	0	0.0
MILPA ALTA	279	1.4	63	3.5	30.1	209	1	4.8
ALVARO OBREGON	1,379	6.7	123	6.8	16.7	738	1	4.8
TLAHUAC	487	2.4	61	3.4	21.6	283	0	0.0
TLALPAN	2,683	13.0	279	15.3	18.1	1539	4	19.0
XOCHIMILCO	892	4.3	102	5.6	16.3	625	0	0.0
BENITO JUAREZ	992	4.8	86	4.7	15.2	564	1	4.8
CUAUHTEMOC	1,018	4.9	105	5.8	16.0	658	2	9.5
MIGUEL HIDALGO	1,040	5.0	43	2.4	11.8	363	1	4.8
VENUSTIANO CARRANZA	476	2.3	56	3.1	16.8	333	1	4.8
CDMX	20,647	100.0	1,818	100.0	16.0	11,387	21	100

De acuerdo con la distribución por Alcaldía de residencia, el mayor número de casos de ETI/IRAG se observa en Gustavo A. Madero (15%), Tlalpan (13%) e Iztapalapa (11%). Los casos confirmados de influenza se distribuyen en Tlalpan (15%), Iztapalapa (15%) y Coyoacán(10%), respectivamente. El 29% de las defunciones por influenza corresponden a Gustavo A. Madero, seguido de Tlalpan (19%), Azcapotzalco (10%), y Cuauhtémoc (10%) (Tabla 5).

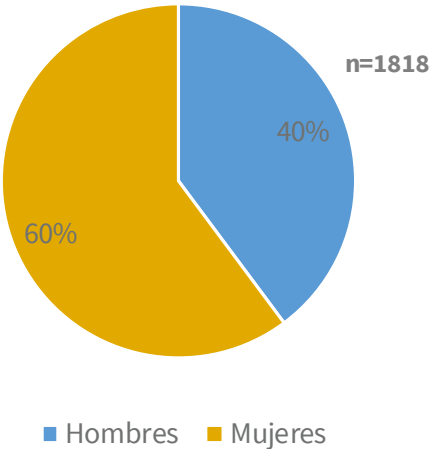
**Gráfica 5. Casos positivos a influenza por grupos de edad y subtipo viral**



De acuerdo con la distribución por grupos de edad, la media de edad de los casos de influenza es de 42 años y se distribuyen en el grupo de mayores de 65 años, 30 a 34 y 35 a 39 años, respectivamente.

Las defunciones por influenza corresponden al grupo de mayores de 65 años, de 50 a 54 años, 55 a 64 años y de 5 a 9 años (Gráfica 5).

**Gráfica 6. Casos positivos a influenza por sexo**



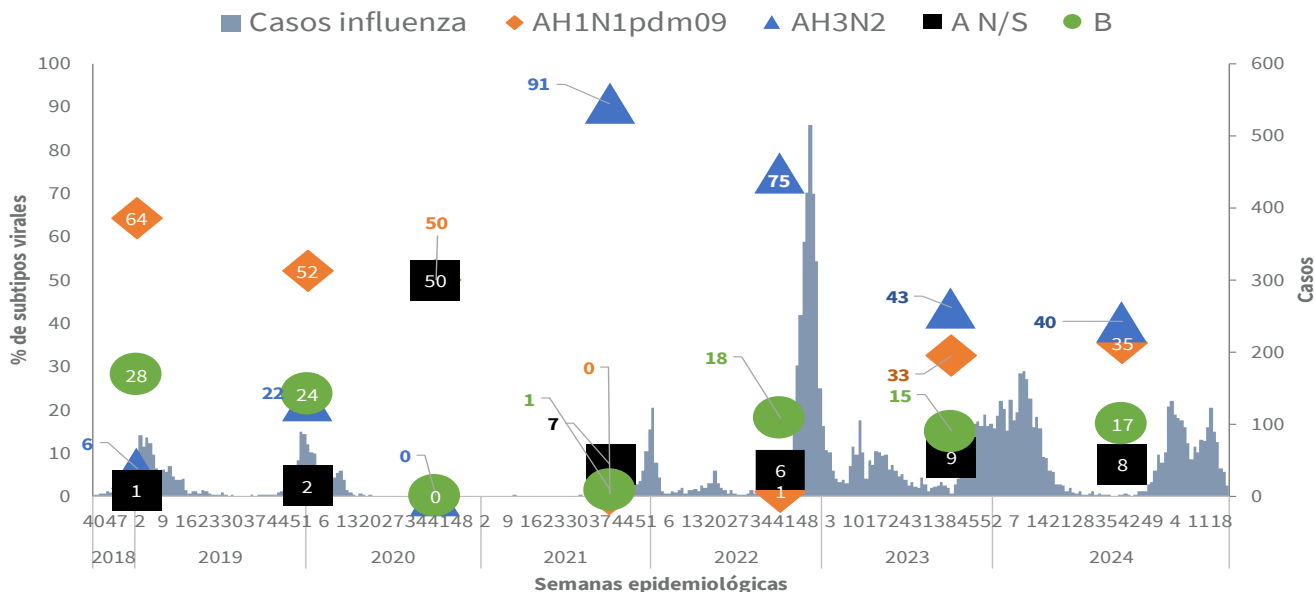
De acuerdo con la distribución por sexo, el 60% de los casos corresponden a mujeres (Gráfica 6).



INFORME SEMANAL DE VIGILANCIA  
EPIDEMIOLÓGICA

INFLUENZA

Gráfica 7. Comportamiento de los subtipos virales de influenza durante las temporadas estacionales de influenza 2019-2025



Durante las temporadas interestacionales previas se observó un predominio de circulación de influenza B e influenza AH1N1pdm09. En la temporada estacional anterior se observó predominio de influenza AH3N2 (43%). En la presente temporada estacional, el subtipo predominante es influenza AH3N2 (40%) (Gráfica 7).



Informe semanal de la temporada estacional de influenza 2024-2025  
(Semanas 40-20)/Semana 20

Notas aclaratorias:

- La vigilancia de influenza se realiza bajo la estrategia centinela y sindromática avalada por la OMS con base en los criterios de Enfermedad Tipo Influenza e Infección Respiratoria Aguda Grave (ETI/IRAG) y confirmación por laboratorio para conocer la positividad y la subtipificación de los casos. La información se obtiene de 475 Unidades de Salud Monitoras de Enfermedad Respiratoria (USMER) a nivel nacional y **39 (8%) en la Ciudad de México**.
- La temporada de influenza estacional inicia en la semana 40 del 2024 y termina en la semana 20 del 2025
- La información presentada corresponde a los casos residentes de la Ciudad de México al corte de la semana 20 de 2025 y es información preliminar.
- El índice de positividad a influenza se calcula con el total de muestras positivas a influenza entre el total de muestras procesadas con resultado de laboratorio y mide la circulación de influenza en la comunidad.
- Hasta el momento el Instituto de Diagnóstico y Referencia Epidemiológicos (InDRE) no ha identificado mutaciones relacionadas con cambios antigénicos, ni cambios en la virulencia o patogenicidad del virus de influenza. No se han identificado resistencias virales a oseltamivir.
- Los virus presentados como A No subtipificable, corresponden a cepas que fueron identificadas como influenza A por PCR tiempo real, que son negativas a virus AH1N1pdm09 y AH3N2 y no han llegado a los centros de subtipificación o llegaron con muestra insuficiente.

Fuentes:

- SINAVE/SISVER /SSPCDMX/DEMP/semana 20
- SINAVE/SUIVE /SSPCDMX/DEMP/semana 18